

ผลของอินฟราเรดเลเซอร์ต่อกล้ามเนื้อของหนูแรกที่ขาดเส้นประสาทมาเลี้ยง

นายวิชญุ สอดสุค

วิทยานิพนธ์นี้เป็นส่วนหนึ่งของการศึกษาตามหลักสูตรปริญญาวิทยาศาสตร์มหาบัณฑิต

ภาควิชาวิทยาศาสตร์การแพทย์

บัณฑิตวิทยาลัย จุฬาลงกรณ์มหาวิทยาลัย

พ.ศ. 2536

ISBN 974-582-992-7

ลิ๊บสีก็ช่องบัณฑิตวิทยาลัย จุฬาลงกรณ์มหาวิทยาลัย

019293 ๑๗๙๘๔๗๙

EFFECTS OF INFRARED LASER ON DENERVATED MUSCLE IN RAT

MR. WISANU SAARDSUD

A Thesis submitted in Partial Fulfillment of the Requirements
For the Degree of Master of Science
Department of Medical Science
Graduate School
Chulalongkorn University

1993

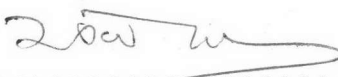
ISBN 974-582-992-7

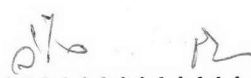
หัวข้อวิทยานิพนธ์ ผลของอินฟราเรดเลเซอร์ต่อกล้ามเนื้อของหนูราฐ
 กีชัดเส้นประสาทมาเลเซีย
 โดย นายวิษณุ สอดส่อง
 ภาควิชา วิทยาศาสตรกรรมแพทย์
 อาจารย์ที่ปรึกษา รองศาสตราจารย์ แพทช์ญิง วีไล ชินเนศ
 ศาสตราจารย์ นายแพทย์ มีชัย ศรีไส

บัณฑิตวิทยาลัย จุฬาลงกรณ์มหาวิทยาลัย อนุมัติให้นับวิทยานิพนธ์
 ฉบับนี้ เป็นส่วนหนึ่งของการศึกษาตามหลักสูตรปริญญามหาบัณฑิต


 คณบดีบัณฑิตวิทยาลัย
 (ศาสตราจารย์ ดร. ถาวร วัชราภัย)

คณะกรรมการสอบวิทยานิพนธ์


 ประธานกรรมการ
 (รองศาสตราจารย์ แพทช์ญิง บังอร ชมเดช)


 กรรมการ
 (รองศาสตราจารย์ แพทช์ญิง วีไล ชินเนศ)


 กรรมการ
 (รองศาสตราจารย์ นายแพทย์ มีชัย ศรีไส)


 กรรมการ
 (รองศาสตราจารย์ ดร. ราตรี สุธรรมวงศ์)


 กรรมการ
 (ผู้ช่วยศาสตราจารย์ วิชัยดา ไรวา)

พิมพ์ดันฉบับบทคัดย่อวิทยานิพนธ์ภาษาไทยในกรอบสีเขียวนี้เพียงแผ่นเดียว

วิทยุ สาขาวุฒิ : ผลของอินฟราเรดเลเซอร์ต่อกล้ามเนื้อของทูนราที่ขาดเส้นประสาท
มาเลี้ยง (EFFECTS OF INFRARED LASER ON DENERVATED MUSCLE IN RAT)
อ. ที่ปรึกษา : รศ. พญ. วิไล ชนกเนศ, ศ. นพ. มชัย ครรภิ, 86 หน้า. ISBN 974-582-
992-7

ได้ทำการศึกษาผลของแสงอินฟราเรดเลเซอร์ต่อกล้ามเนื้อ Tibialis anterior ของทูนราที่ขาดเส้นประสาทมาเลี้ยง ใช้ทูนราที่เพศผู้เพศเมีย 300-400 จำนวน 20 ตัว โดยแบ่งเป็น 4 กลุ่ม กลุ่มละ 5 ตัว ได้แก่ กลุ่มควบคุม, กลุ่มที่ศีดเส้นประสาทออกโดยไม่ทำอะไรกับกล้ามเนื้อ, กลุ่มที่ศีดเส้นประสาทออกแล้วกระตุ้นด้วยไฟฟ้า หลังจากศีดเส้นประสาท 4 วันทำการกระตุ้น 1 วัน พัก 1 วัน และกลุ่มที่ศีดเส้นประสาทออกแล้วฉาบแสงอินฟราเรดเลเซอร์ หลังจากศีดเส้นประสาท 4 วัน ทำการฉาบ 1 วัน พัก 1 วัน หลังจากนั้น 90 วัน ตัดกล้ามเนื้อและนำเข้าเนื้อไปหัตถการให้ความเย็น -20°C ทำการปั่นเข็นเนื้อด้วยเทคนิค ATPase pH 9.5 ศึกษาขั้นเนื้อภายในได้กล้องจุลทรรศน์ธรรมชาติ พบร่องกล้ามเนื้อ 2 ชนิด คือ type I ศีดสีขาว, type II ศีดสีเข้ม รักษาเฉลี่ยของเส้นผ่าศูนย์กลางของเส้นใย กล้ามเนื้อ กลุ่มควบคุม type I 59.41 ± 3.65 μm และ type II 34.35 ± 8.03 μm, กลุ่มที่ศีดเส้นประสาทออกโดยไม่ทำอะไรกับกล้ามเนื้อ ไม่พบเส้นใย type I พบร่วมกับเส้นใย type II มีค่าเฉลี่ยของเส้นผ่าศูนย์กลางของเส้นใยเท่ากับ 9.40 ± 2.16 μm, กลุ่มที่ใช้กระแตไฟฟ้า type I มีค่าเฉลี่ยของเส้นผ่าศูนย์กลางของเส้นใยเท่ากับ 30.97 ± 14.76 μm และ type II มีค่าเฉลี่ยของเส้นผ่าศูนย์กลางของเส้นใยเท่ากับ 11.10 ± 0.85 μm ปั่นพบร่วม กวารใช้กระแตไฟฟ้ากระตุ้นกล้ามเนื้อของทูนราที่ขาดเส้นประสาทมีความสามารถช่วยชลของการฟอกสีของกล้ามเนื้อได้โดยการฟอกสีของกล้ามเนื้อ มีค่าที่นัยสำคัญทางสถิติที่ $P > 0.05$ การใช้แสงอินฟราเรดเลเซอร์จากการสังเกตพบว่ามีบางกลุ่มเซลล์ของกล้ามเนื้อที่ไม่ฟอกสีแต่จากการคำนวณค่าทางสถิติแสงอินฟราเรดเลเซอร์ไม่สามารถช่วยชลของการฟอกสีของกล้ามเนื้อได้ โดยการฟอกสีของกล้ามเนื้อ มีค่าที่นัยสำคัญทางสถิติที่ $P < 0.05$

ภาควิชา วิทยาศาสตร์และเทคโนโลยี
สาขาวิชา วิทยาศาสตร์และเทคโนโลยี
ปีการศึกษา 2535

ลายมือชื่อนิสิต Dr. Dr.
ลายมือชื่ออาจารย์ที่ปรึกษา Prof. Dr.
ลายมือชื่ออาจารย์ที่ปรึกษาร่วม Dr.

#C345096 : MAJOR MEDICAL SCIENCE

KEY WORD: INFRARED LASER / DENERVATED MUSCLE

WISANU SAARDSUD : EFFECTS OF INFRARED LASER ON DENERVATED MUSCLE IN RAT. THESIS ADVISOR : ASSO. PROF. VILAI CHENTANEZ, M.D., Ph.D., PROF. MEECHAT SRISAI, M.D., Ph.D. 86 pp. ISBN 974-582-992-7

The purpose of this study was to determine morphologically the effect of infrared laser on denervated rat tibialis anterior muscle. Twenty adult male rats (300-400 grams) were divided into 4 groups : control, denervated-nonstimulated, denervated with electrical stimulation and denervated with infrared laser treatment. Electrical stimulation and infrared laser treatment began 4 days after sciatic nerve cut (treat 1 day, rest 1 day). All animals were sacrificed 90 days after denervation ; the muscle was removed, cut with cryostat (-20 °C), processed with ATPase (pH 9.5) technique and observed under light microscope. The muscle were differentiated into type I (light staining) and type II (dark staining). The diameter of type I and type II were 59.41 ± 3.65 μm and 34.35 ± 8.03 μm respectively. In the denervated-nonstimulated group, the type I muscle fiber was disappeared, the mean diameter of type II fiber was 9.40 ± 2.16 μm . In the third group, denervated with electrical stimulation, type I diameter was 30.97 ± 14.76 μm and type II was 34.68 μm . The last group, denervated with laser treatment the mean diameter of type I was 15.91 ± 1.88 μm and type II was 11.10 ± 0.85 μm . The results of this study indicate that electrical stimulation can retard denervation atrophy significantly at $p < 0.05$. Although some muscle fibers in denervated with laser treatment group were preserved, infrared laser can not delay muscular atrophy ($p > 0.05$)

ภาควิชา วิทยาศาสตร์การแพทย์
สาขาวิชา วิทยาศาสตร์พัฒนาการ
ปีการศึกษา 2536

ลายมือชื่อนิสิต..... Dr. Tha
ลายมือชื่ออาจารย์ที่ปรึกษา..... Prof. Renu
ลายมือชื่ออาจารย์ที่ปรึกษาร่วม..... Dr.

กิตติกรรมประกาศ

วิทยานิพนธ์ฉบับนี้สำเร็จลุล่วงไปได้ด้วยความช่วยเหลืออย่างดีของ
รองศาสตราจารย์ แพทัยหณิง วีไล ชินเนศ อาจารย์ที่ปรึกษาวิทยานิพนธ์,
ศาสตราจารย์ นายแพทัย มีชัย ศรีใส อาจารย์ที่ปรึกษาร่วม, ผู้ช่วย
ศาสตราจารย์ วิยะดา ไรวา และผู้ช่วยศาสตราจารย์ นายแพทัย สังคม
จรพิพัฒน์เวณิชย์ ซึ่งท่านได้ให้คำแนะนำและข้อคิดเห็นต่างๆ ของการวิจัยมาด้วย
ดีตลอด ผู้เขียนขอกราบขอบพระคุณมา ณ ที่นี่
^{ที่นี่}

ขอกราบขอบพระคุณรองศาสตราจารย์ แพทัยหณิง นังอร ชุมเดช,
รองศาสตราจารย์ ดร. راتนา สุดกรวงศ์ ที่ได้ร่วมเป็นกรรมการสอนวิทยานิพนธ์
และได้เสนอแนวทางแก้ไขปรับปรุงให้วิทยานิพนธ์ฉบับนี้ดียิ่งขึ้น

ขอขอบคุณ คุณนังอร ฉางกรพย์, คุณเกล็ดแก้ว ต่านวิวัฒน์ และ
คุณมาลินี พงศ์เสว ที่ได้ช่วยเหลือการทั่วจัดและให้คำแนะนำต่างๆ ของการวิจัย
ขอขอบคุณ คุณกานต์ สิงหกุล ที่ได้ช่วยเหลือและให้กำลังใจในการทำ
วิจัยครั้งนี้

ขอขอบคุณนิสิตปริญญาโทสาขาวิทยาศาสตร์การแพทย์ทุกท่าน ที่เป็นกำลัง
ใจและให้ความช่วยเหลือ และสุดท้ายของกราบขอบพระคุณ คุณพ่อ คุณแม่ ที่
สนับสนุนด้านการเงินและให้กำลังใจแก่ผู้วิจัยเสมอมาจนสำเร็จการศึกษา

สารบัญ

หน้า

บทคัดย่อภาษาไทย	๔
บทคัดย่อภาษาอังกฤษ	๕
กิตติกรรมประกาศ	๖
สารบัญตาราง	๗
สารบัญรูป	๘
คำอธิบายค่ายอ	๙
บทที่	
1 บทนำ	1
2 สารสารปริทศน์	4
2.1 กล้ามเนื้อลาย	4
2.2 ลักษณะและการทำงานของกล้ามเนื้อลาย	5
2.3 ชนิดต่าง ๆ ของกล้ามเนื้อลาย	13
2.4 ความผิดปกติของกล้ามเนื้อลายเมื่อเส้นประสาทที่มาเลี้ยงถูกตัดขาด	17
2.5 แสงเลเซอร์	18
2.6 คุณสมบัติของแสงเลเซอร์	19
2.7 เครื่องเลเซอร์และส่วนประกอบ	21
2.8 ปฏิวิยาการเกิดแสงเลเซอร์	23
2.9 ฟันพองแสงเลเซอร์	24

หน้า

3 วิธีท่าการทดลอง	27
3.1 เครื่องมือที่ใช้ในการทดลอง	27
3.2 เครื่องหมายแสดงเลขเร็ว	30
3.3 สัตว์ทดลอง	30
3.4 วิธีท่าการทดลอง	31
3.5 การรวมรวมข้อมูล	36
3.6 การวิเคราะห์ข้อมูล	36
4 ผลการทดลอง	37
5 อภิปรายผลการทดลอง	55
สรุปและข้อเสนอแนะ	75
รายการอ้างอิง	76
ภาคผนวก ก	82
ภาคผนวก ช	83
ภาคผนวก ค	84
ภาคผนวก ง	85
ประวัติผู้เขียน	86

สารบัญตาราง, แผนภูมิ

ตารางที่

หน้า

1	แสดงน้ำหนักของหนูทั้งหมด, น้ำหนักกล้ามเนื้อ Tibialis anterior และสีขาวของหัวของกล้ามเนื้อ Tibialis anterior	39
2	แสดงต่อไปนี้ของสีขาวของกล้ามเนื้อ Tibialis anterior type I และ type II และจำนวนเส้นไขที่วัด ในแต่ละกลุ่มการทดลอง	42
3	แสดงเปอร์เซ็นต์จำนวนเส้นไข type I และ type II ของกล้ามเนื้อในแต่ละกลุ่ม	44

แผนภูมิที่

1	แสดงเปอร์เซ็นต์จำนวนเส้นไข type I และ type II ของกล้ามเนื้อในกลุ่ม control	57
2	แสดงเปอร์เซ็นต์จำนวนเส้นไข type I และ type II ของกล้ามเนื้อในกลุ่ม denervated	58
3	แสดงเปอร์เซ็นต์จำนวนเส้นไข type I และ type II ของกล้ามเนื้อในกลุ่ม E.S.	59
4	แสดงเปอร์เซ็นต์จำนวนเส้นไข type I และ type II ของกล้ามเนื้อในกลุ่ม laser	60
5	เปรียบเทียบน้ำหนักกล้ามเนื้อ Tibialis anterior ของหนูในแต่ละกลุ่ม	62
6	เปรียบเทียบเส้นรอบวงของกล้ามเนื้อ Tibialis anterior ของหนูในแต่ละกลุ่ม	63

สารบัญ

รูปที่

หน้า

1 แสดงการทำงานของกล้ามเนื้อ biceps ร่วมกับกระดูก	4
2 แสดงโครงสร้างของ longitudinal tubule (LT) และ transverse tubule (TT) ที่ติดต่อเป็น triad กับ Z line	9
3 แผนผังแสดง excitation-contraction coupling	10
4 แสดงลักษณะทางกายวิภาคของกล้ามเนื้อลาย	10
5 แสดงลักษณะของแสงธรรมชาติและแสงเลเซอร์เมื่อผ่าน prism	19
6 แสดงการกระจายของแสงปกติและแสงเลเซอร์	20
7 แสดงลักษณะคลื่นของแสงเลเซอร์และแสงปกติ	20
8 เครื่องเลเซอร์	21
9 แสดงส่วนประกอบพื้นฐานของเครื่องเลเซอร์	21
10 แสดงปฏิกิริยาการเกิดแสงเลเซอร์	23
11 แผนผังการทำงานของเครื่องกระตุ้นไฟฟ้า	29
12 แสดงการเปิดหัวเส้นประสาท sciatic	31
13 แสดงแนวการตัดกล้ามเนื้อ	34
14 แสดงขนาดของชิ้นเนื้อที่แบ่งไว้มีขนาดพอเหมาะ เมื่อนำไปตัด section	34
15 แสดงการวัดเส้นผ่าศูนย์กลางของกล้ามเนื้อแบบ "lesser fiber diameter"	36

16	ภาพตัดตามขวางของกล้ามเนื้อ Tibialis anterior	
	ของหมูปกติ ข้อมัดวาย H&E x 40	38
17	ภาพตัดตามขวางของกล้ามเนื้อ Tibialis anterior	
	ของหมูปกติ ข้อมัดวาย ATPase pH 9.5 x 10	38
18	ภาพตัดตามขวางของกล้ามเนื้อ Tibialis anterior	
	ของหมูกลุ่ม denervated ข้อมัดวาย H&E x 40	46
19	ภาพตัดตามขวางของกล้ามเนื้อ Tibialis anterior	
	ของหมูกลุ่ม denervated ข้อมัดวาย ATPase pH 9.5 x 10	46
20	ภาพตัดตามขวางของกล้ามเนื้อ Tibialis anterior	
	ของหมูกลุ่ม E.S. ข้อมัดวาย H&E x 40	48
21	ภาพตัดตามขวางของกล้ามเนื้อ Tibialis anterior	
	ของหมูกลุ่ม E.S. ตัวที่ 4 ข้อมัดวาย H&E x 20	48
22	ภาพตัดตามขวางของกล้ามเนื้อ Tibialis anterior	
	ของหมูกลุ่ม E.S. ข้อมัดวาย ATPase pH 9.5 x 10	49
23	ภาพตัดตามขวางของกล้ามเนื้อ Tibialis anterior	
	ของหมูกลุ่ม E.S. ตัวที่ 4 ข้อมัดวาย ATPase pH 9.5 x 10	49
24	ภาพตัดตามขวางของกล้ามเนื้อ Tibialis anterior	
	ของพะเนกส์ laser ข้อมัดวาย H&E x 20	52
25	ภาพตัดตามขวางของกล้ามเนื้อ Tibialis anterior	
	ของหมูกลุ่ม laser ตัวที่ 5 ข้อมัดวาย H&E x 20	52

ว่าที่ (๗๖)

หน้า

26	ภาพตัดตามขวางของกล้ามเนื้อ Tibialis anterior ของหนู กลุ่ม laser ตัวที่ 1 ข้อมูลด้วย ATPase x 10 53
27	ภาพตัดตามขวางของกล้ามเนื้อ Tibialis anterior ของหนู กลุ่ม laser ตัวที่ 3 ข้อมูลด้วย ATPase x 10 53
28	ภาพตัดตามขวางของกล้ามเนื้อ Tibialis anterior ของหนู กลุ่ม laser ตัวที่ 4 ข้อมูลด้วย ATPase x 10 53
29	ภาพตัดตามขวางของกล้ามเนื้อ Tibialis anterior ของหนู กลุ่ม laser ตัวที่ 5 ข้อมูลด้วย ATPase pH 9.5 x 10 54
30	ภาพตัดตามขวางของกล้ามเนื้อ Tibialis anterior ของหนู กลุ่ม laser ตัวที่ 2 ข้อมูลด้วย ATPase pH 9.5 x 10 54
31, 32, 33	ภาพตัดตามขวางของกล้ามเนื้อ Tibialis anterior ของหนูในกลุ่มต่างๆ ข้อมูลด้วย ATPase pH 9.5 x 10 70

อธิบายคำย่อ

Ach	= Acetylcholine
ATP	= Adenosine triphosphate
ATPase	= Adenosine triphosphatase
c AMP	= cyclic adenosine monophosphate
DNA	= Deoxyribonucleic acid
E.S.	= Electrical Stimulation
g.	= gram
He-Ne	= Helium - Neon
HMM	= heavy meromyosin
J/cm ²	= Joule / centimetre ²
LMM	= light meromyosin
mg/kg	= milligram / kilogram
mm	= millimetre
mW	= milliwatt
NADH	= Nicotinamide-adenine dehydrogenase
nm	= nanometre
μm	= micrometre